

اثرات آرایش میلگرد بر فواصل و عرض ترک‌های خمشی در تیرهای بتن‌آرمه تقویت شده با صفحات CFRP

محمد رضا افتخار (دانشجوی دکتری)

دادود مستوفی نژاد (دانشیار)

دانشکده هندسی عمران، دانشگاه صنعتی اصفهان

در این تحقیق اثرات آرایش میلگرد بر فواصل و عرض ترک‌های خمشی در تیرهای بتن‌آرمه و تیرهای بتن‌آرمه تقویت شده با ورقه‌های صفحات پلیمری مرکب (CFRP) مورد بررسی قرار گرفته است. برای این مظاومه ۹ تیر بتن‌آرمه در مقیاس واقعی، با مشخصات یکسان — از لحاظ ابعاد و میزان میلگردهای کششی و فشاری — و با سه آرایش مختلف آراماتور کششی ساخته شد و در سه دسته مختلف مورد آزمایش قرار گرفت. سه عدد از تیرها در دسته‌ی اول بدون تقویت و به عنوان نمونه‌ی شاهد در نظر گرفته شدند. تیرهای دسته‌ی دوم پس از تقویت توسط دو لایه ورقه‌ی صفحات پلیمری مرکب (CFRP)^۱ به صورت خمشی سه نقطه‌یی تا مرحله‌ی شکست بازگذاری شدند. به منظور بررسی اثرات پیش‌ترک در بار جداشده‌ی و سازوکار انتشار ترک، ابتدا تیرهای دسته‌ی سوم به میزان ۷۰٪ بار ناحیه‌ی خطی منحنی بار - تغییر مکان، بازگذاری شد و پس از ایجاد ترک‌های متعدد خمشی و خمشی سریشی، باربرداری از نمونه‌ها انجام شد. نمونه‌ها پس از تقویت، توسط دو لایه ورقه‌ی CFRP مجدداً تا مرحله‌ی شکست بازگذاری شدند. نتایج حاصله نشان می‌دهد که استفاده از میلگردهای کم قطر در ناحیه‌ی کششی تیر باعث توزیع یکنواخت‌تر ترک در طول تیر می‌شوند. این توزیع یکنواخت ترک، بازشده‌ی کم عرض تری را نیز ایجاد می‌کند. به عکس، امکان وقوع توزیع یکنواخت ترک‌نش محوری ورق تقویتی در طول بیشتر تیر، که عامل مهمی در جلوگیری از جداشده‌ی ورق تقویتی است، در تیرهای با تعداد آراماتور خمشی کمتر، بیشتر است. همچنین نتایج حاصله نشان می‌دهد که آرایش میلگردهای داخلی اثرات قابل توجهی بر بار جداشده‌ی ورق تقویتی ندارد.

وازگان کلیدی: آرایش میلگرد، جداشده‌ی، عرض ترک، فاصله‌ی ترک، تقویت،
بتن‌آرمه، ورق FRP.

مقدمه

دلیل واقعی برای محدود کردن ترک‌های سطحی در سیاری از سازه‌ها ظاهر عضو بتن‌آرمه است».

در مورد سازه‌های بتن‌آرمه تقویت شده با صفحات الیاف مسلیح پلیمری (FRP)^۲، اهمیت ترک خودگی دوچندان می‌شود. به عبارت دیگر مسائل مربوط با خودگی میلگرد و جنبه‌ی ظاهری موضوع از یک طرف و مسئله‌ی تأثیرات ترک خودگی بر جداشده‌ی ورق تقویتی و تأثیر بر بار نهایی گسیختگی عضو از طرف دیگر، مسئله‌یی است که باید در طراحی سازه به دقت مورد توجه قرار گیرد. در شکل ۱ دو نوع از جداشده‌ی های تابه‌هندگام و زودرس که در سازه‌های بتن‌آرمه تقویت شده با صفحات FRP به وقوع می‌پوند و ترک عامل اصلی ایجاد آن است، نشان داده شده است. نوع اول که جداشده‌ی ناشی از ترک میانی^۳ است (شکل ۱الف)، با

در مسئله‌ی قابلیت پهنه‌بندی سازه‌های بتن‌آرمه، ترک خودگی و تغییر مکان (خیز) از مهم‌ترین پارامترها به شمار می‌آیند. ایجاد ترک و بازشدن آن در عضو بتن‌آرمه، نفوذ رطوبت و همچنین نفوذ یون‌های مخرب را ممکن می‌سازد و خودگی میلگردها را به دنبال خواهد داشت. گذشته از مسئله‌ی خودگی میلگرد، وجود ترک یا ایجاد آن -- به ویژه در تیرها و دال‌های بتن‌آرمه -- از نقطه‌نظر ظاهری، امنیت و آرامش روانی استفاده‌کنندگان را به شدت تحت تأثیر قرار می‌دهد. این موضوع به قدری حائز اهمیت است که برخی از محققین، تأثیر ترک بر خودگی میلگرد را در مقایسه با جنبه‌ی ظاهری آن از دید مسائل روانی، کم اهمیت ارزیابی کرده‌اند، و به بیان گرگلی^[۱] «تنه

تاریخ: دریافت ۱۴، ۱۳۸۷/۱۱، اصلاحیه ۲۲، پذیرش ۱۶، ۱۳۸۸/۴.

متغیرها — مثل قطر آرماتور، پوشش بن، نسبت آرماتور (ρ)، عمق مؤثر و سایر پارامترها که در هر رابطه لحاظ شده — مشابه یکدیگر نیست. به علاوه نحوه تأثیر این پارامترها نیز در هر رابطه به گونه‌ای متفاوت بوده، و بنابراین در محاسبه‌ی عرض ترک محاسباتی توسط این روابط تأثیرگذار است.

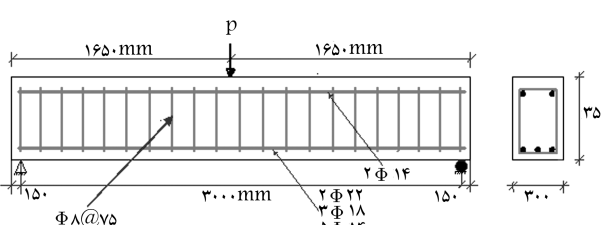
در این تحقیق، اثرات آرایش‌های مختلف میلگرد‌های کششی در بحث ترک خوردگی و فواصل بین ترک‌های ایجاد شده در تیرهای بن‌آرمه (بدون تقویت و تقویت شده با صفحات FRP)، به صورت تجربی مورد مطالعه قرار گرفته است. در این ارتباط، نتایج حاصل از مشاهدات تجربی انجام شده در این تحقیق با برخی از روابط پیشنهادی سایر محققان نیز مقایسه شده است.

اهمیت موضوع

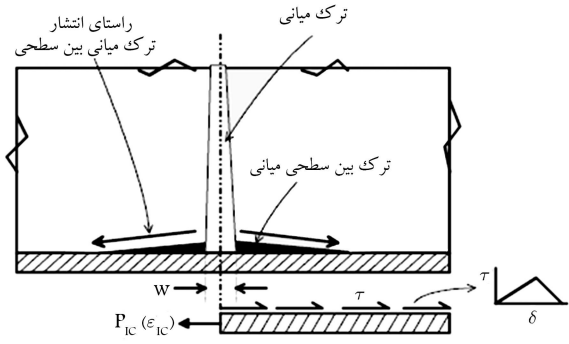
در مسئله‌ی تقویت خمشی تیرهای بن‌آرمه با استفاده از ورقه‌های FRP، گسیختگی‌های موضعی بین صفحات تقویتی و آرماتورهای کششی حادث می‌شود. این گسیختگی‌ها تیر را از رسیدن به ظرفیت خمشی بیشینه بازی دارد و باعث ایجاد گسیختگی‌های زده‌نمکام در تیر می‌شود که باید در روند طراحی لحاظ شود. برخی از پارامترهای دخیل در این موضوع، همانند اثرات تعداد و ضخامت لایه‌های ورق تقویتی، محل قطع ورق، نحوه قطع و... توسط محققان مختلف بررسی و در روابط طراحی گنجانده شده است. در این تحقیق اثرات آرایش داخلی میلگرد‌های خمشی اصلی بر نحوه ایجاد ترک، فواصل ترک و عرض بازشگی ترک و اثرات آن‌ها بر جدادشگی ورق تقویتی مورد بررسی قرار گرفته است.

مشخصات نمونه‌های آزمایشی

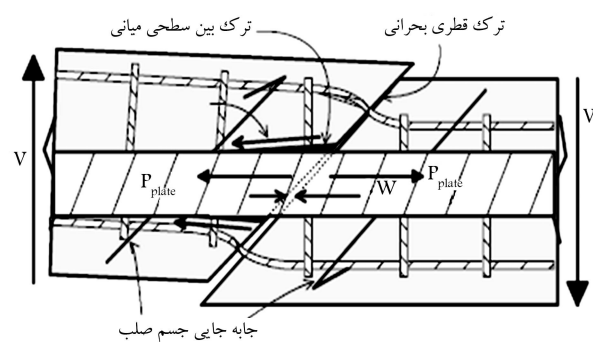
در این تحقیق جمعاً ۱۲ آزمایش خمشی بر روی ۹ تیر بن‌آرمه در مقیاس واقعی انجام شد. تیرها هریک به طول $3/3$ متر و به ابعاد مقطع 350×350 میلی‌متر، مطابق شکل ۲، به صورت خمش سه نقطه‌بی در وسط دهانه مورد آزمایش قرار گرفتند. در این شکل همچنین جزئیات آرماتورگذاری تیر نشان داده شده است. معرفی تیرهای مورد آزمایش به همراه مشخصات فولادهای تسليح داخلی و تقویت خارجی در جدول ۱، و مشخصات مصالح به کار رفته در تیرها در جدول ۲ ارائه شده است. مطابق جدول ۱، سه عدد از نمونه‌ها (I۵۰۰، I۳۵۰ و I۲۰۰) نمونه‌های بدون تقویت است. این نمونه‌ها به عنوان نمونه‌های شاهد در نظر گرفته شد. تیرهای I۲۲۱، I۳۲۱ و I۵۲۱ نیز هرکدام توسعه دو لایه و ورق تقویتی CFRP می‌گیرند و در محاسبه‌ی این حد، از روابطی استفاده می‌کنند که وابسته به فواصل آرماتور و مقدار پوشش بن روی آرماتور است.^[۱] همچنین آین نامه‌ای استرالی (۲۰۰۱)، ACI ۳۱۸-۹۵ و مقدار توسعه در نظر گرفته در نظر گرفته شده است.^[۲] استاندارد انگلیس، BS ۸۱۱۰، دو مجموعه از مقادیر حدی را برای تنش آرماتور لحاظ می‌کند که در یکی مقادیر متفاوت قطر آرماتور و در دیگری، فواصل مختلف آرماتورها در نظر گرفته شده است.^[۳] استاندارد آلمانی DIN ۱۰۴۵، دو مجموعه از مقادیر مختلف با توزیع لنگر اعمال شده در یک مقطع، مشخص می‌سازد.^[۴]



شکل ۲. جزئیات تیر و آرماتورگذاری.



الف) جدادشگی ناشی از ترک میانی؛



ب) جدادشگی ناشی از ترک بحرانی فطری.^[۱]

شکل ۱. دو نوع جدادشگی محتمل در تیرهای تقویت شده با صفحات تقویتی.

تشکیل ترک‌های خمشی یا ترک‌های خمشی-برشی در مجاورت ورق تقویتی ایجاد می‌شود. نوع دوم که از آن با عنوان «جاداشدگی ناشی از ترک قطري بحرانی^[۵]» یاد می‌کنند، به دلیل تغییر شکل‌های برشی - قائم در تیر به وقوع می‌پوندد (شکل ۱ ب). در هر دو نوع جدادشگی، ایجاد ترک و عریض شدن آن نقشی اساسی در گسیختگی و بار نهایی اعضو دارد. به دلیل اهمیت موضوع، مباحثت کنترل ترک خوردگی، عرض ترک، فواصل بین ترک‌ها و همچنین میزان تغییر مکان (خیزا) -- که ارتباط بسیار نزدیکی با بحث ترک خوردگی دارد -- به عنوان یکی از مباحثت اساسی و در قالب بخش‌هایی از آین نامه‌های سازه‌های بن‌آرمه گنجانیده شده است. در این رابطه، دیدگاه آین نامه‌های مختلف برای کنترل عرض ترک متفاوت است. مثلاً آین نامه‌ای در ACI ۳۱۸-۹۵، یک حد بالایی را برای تنش فولاد در مقطع ترک خوردگی در نظر می‌گیرد و در محاسبه‌ی این حد، از روابطی استفاده می‌کند که وابسته به فواصل آرماتور و مقدار پوشش بن روی آرماتور است.^[۶] همچنین آین نامه‌ای استرالی (۲۰۰۱)، دو مجموعه از مقادیر حدی را برای تنش آرماتور لحاظ می‌کند که در یکی مقادیر متفاوت قطر آرماتور و در دیگری، فواصل مختلف آرماتورها در نظر گرفته شده است.^[۷] استاندارد انگلیس، BS ۸۱۱۰، فاصله‌ی آزاد بین آرماتورهای کششی را برای مقادیر مختلف با توزیع لنگر اعمال شده در یک مقطع، مشخص می‌سازد.^[۸]

عمل تفاوت در توصیه‌های آین نامه‌های مختلف، بیشتر ناشی از این واقعیت است که برای کنترل مسئله‌ی ترک خوردگی از روابط متفاوتی استفاده می‌شود. تحقیق در روابط محاسبه‌ی عرض ترک که توسط محققین مختلف انجام شده نشان می‌دهد که هر رابطه شامل مجموعه‌ی متفاوتی از متغیرهای است. تقریباً بیشتر محققان در این زمینه، تنش (یا کرنش) آرماتور را به طریقی در روابط خود گنجانده‌اند ولی سایر

جدول ۱. تعریف نمونه‌های مورد آزمایش.

نمونه‌ها	فولادکششی	A_s (mm ^۲)	f_y (MPa)	تعداد لایه‌ها	*** A_f (mm ^۲)	بار اعمالی
I۲۰۰	۲Φ۲۲	۷۶۰	۴۲۳	-	-	* P_u
I۳۰۰	۳Φ۱۸	۷۶۳	۴۴۴	-	-	P_u
I۵۰۰	۵Φ۱۴	۷۷۰	۴۳۵	-	-	P_u
I۲۲۱	۲Φ۲۲	۷۶۰	۴۲۳	۲	۳۶,۷۲	P_u
I۳۲۱	۳Φ۱۸	۷۶۳	۴۴۴	۲	۳۶,۷۲	P_u
I۵۲۱	۵Φ۱۴	۷۷۰	۴۳۵	۲	۳۶,۷۲	P_u
I۲۰۰-CR	۲Φ۲۲	۷۶۰	۴۲۳	-	-	** $\% P_L$
I۳۰۰-CR	۳Φ۱۸	۷۶۳	۴۴۴	-	-	$\% P_L$
I۵۰۰-CR	۵Φ۱۴	۷۷۰	۴۳۵	-	-	$\% P_L$
I۲۲۱-CR	۲Φ۲۲	۷۶۰	۴۲۳	۲	۳۶,۷۲	P_u
I۳۲۱-CR	۳Φ۱۸	۷۶۳	۴۴۴	۲	۳۶,۷۲	P_u
I۵۲۱-CR	۵Φ۱۴	۷۷۰	۴۳۵	۲	۳۶,۷۲	P_u

* بار نهایی؛ ** بار ناحیه‌ی کشسان؛ *** سطح مقطع ورق تقویتی.

جدول ۲. مشخصات مصالح مصرفی.

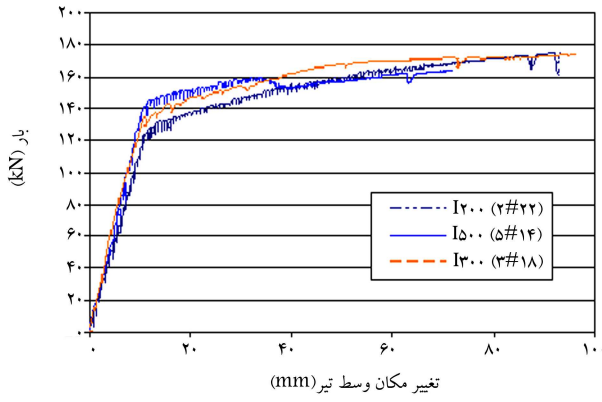
مشخصات ورق تقویتی الیاف تک جهته	نوع ورق	ضخامت هر لایه (mm)	مقاومت کششی (MPa)	مدول کشسانی (GPa)	کرنش پارگی (mm/mm)
	SikaWrap Hex- ۲۳° C	۰,۱۲	۴۱۰۰	۲۳۱	۰,۰۱۷
مشخصات چسب	نوع چسب	ضخامت هر لایه (mm)	مقاومت کششی (MPa)	مدول کششی (MPa)	مدول خمشی (MPa)
	Epoxy dur- ۳۰۰	۰,۴	۴۵	۳۵۰۰	۳۰۰۰
مشخصات بتن	بزرگترین اندازه‌ی دانه (mm)	f'_c زمان ساخت (MPa)	f'_c زمان آزمایش (MPa)	مدول کشسانی (MPa)	مقاومت کششی برزیلی (MPa)
	۱۰	۳۰	۳۲	۲۶۵۸۷	۲,۲



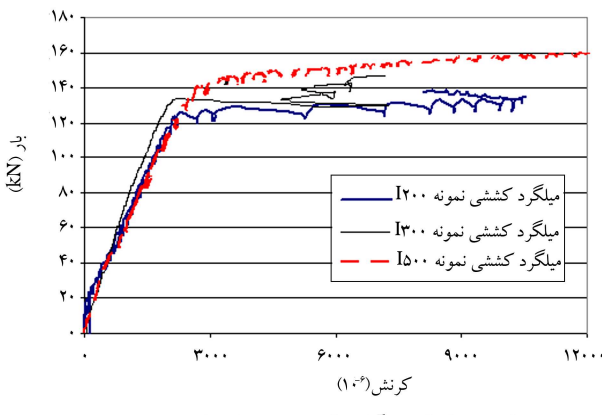
شکل ۳. وضعیت سطح بتن (به ترتیب از راست به چپ)، قبل از آماده‌سازی، پس از زدن ساب و پس از برگردان حفره‌ها.

مقدار آرماتور کششی موجود در نمونه‌ها براساس طرح بتن‌های تحت مسلح^۷ انجام شده است تا از هرگونه گسیختگی ترد بتن در ناحیه‌ی فشاری اجتناب شود. این مقدار آرماتور به‌گونه‌یی است که نسبت فولاد، $\rho = ۰,۰۸$ در تیرهای تیرها حدود ۰,۰۵ را^۸ رعایت شود. این مقدار تقریباً معادل ۲۵p_b در تیرهای $۰,۰$ درصد فولاد متوازن مقطع است). همان‌طور که در جدول ۱ مشاهده می‌شود، مقدار آرماتور کششی به لحاظ سطح مقطع برای کلیه‌ی تیرها یکسان است و فقط از نظر آرایش آرماتورگذاری

به ذکر است که در تمام نمونه‌های تقویت شده با CFRP، ابتدا شیره‌ی سطحی بتن توسط دستگاه ساب، به میزان ۲ میلی‌متر برداشته شده است. سپس محل حفره‌های ایجاد شده در سطح بتن، به کمک ملات تعییری Epoxy Dur ۳۱ N ترمیم شد و پس از گیرش آن، ورقه‌های CFRP به سطح بتن چسبانده شدند. در شکل ۳ وضعیت سطح بتن قبل از ساب زنی، پس از ساب و بعد از برگردان حفره‌ها نشان داده شده است.



الف) منحنی بار-تغییر مکان وسط نمونه های شاهد؛



ب) منحنی بار-کرنش آرماتور کششی نمونه های شاهد.

شکل ۴. منحنی های بار- تغییر مکان و بار - کرنش آرماتور کرنش در نمونه های شاهد.

نمودار فاصله ای متوجه ترک های ایجاد شده در طول ۲ متر وسط تیر، تا حد ۷۰٪ بار خطی ناحیه کشسان در شکل ۱۵ الف نشان داده شده است. بار ۷۰٪ ناحیه کشسان حدوداً معادل بار شرایط بهره برداری سازه های بتن آرماتور است. با توجه به این منحنی، با زیاد شدن تعداد آرماتورها و در یک درصد ثابت فولاد کششی، فواصل ترک در یک بار ثابت کاهش می یابد. این مطلب، با توجه به یکسان بودن میزان تغییر شکل های ایجاد شده در تیر، به معنای بازشدن بیشتر عرض ترک در تیرهای با تعداد آرماتور کمتر است.

شکل ۵ ب عرض بازشدن بزرگ ترین ترک خمشی را در بارهای کشسان برای تیرهای مورد نظر نشان می دهد. مقادیر عرض ترک در لحظه ای ایجاد و در فواصل زمانی مختلف از شروع آزمایش، توسط دستگاه ریزسنج با دقیق ۰/۰۲ میلی متر در ارتفاع ۳۰ میلی متری از دورترین تار کششی تیر اندازه گیری شد و به همراه ارتفاع پیش روی ترک و بار مربوطه، در مراحل مختلف بارگذاری ثبت شد. سپس با فرض خطی بودن کرنش در ارتفاع مقطع عضو خمشی، عرض ترک در سطح زیرین تیر محاسبه شد. برای این منظور عرض ترک اندازه گیری شده در ضریب بزرگ نمایی β طبق رابطه ۱ ضرب شده است (شکل ۱۶ الف).

$$\beta = \frac{\varepsilon_2}{\varepsilon_1} = \frac{h - c}{h - c - d_1} \quad (1)$$

در این رابطه ε_2 و ε_1 به ترتیب کرنش در سطح زیرین تیر و در محل اندازه گیری عرض ترک، h ارتفاع مقطع تیر، c فاصله محور خمشی تا دورترین تار فشاری و

تفاوت معنی داری بین نمونه ها وجود دارد. همچنین مقدار آرماتور بر شی تیرها به گونه های است که پس از تقویت و تحت بارهای افزایش یافته، گسیختگی بر شی در نمونه ها ایجاد شود.

از نقطه نظر ظاهری و نگرش مقاومتی، آریش مختلف آرماتور گذاری اثر چندانی بر بار نهایی تیر ندارد و فقط به لحاظ رفتاری و به خصوص وضعیت تغییر شکل و نحوی ترک خودگی ممکن است تفاوت هایی در نمونه ها حاصل شود. این موضوع در ادامه بحث به تفصیل مورد توجه قرار خواهد گرفت.

روش انجام آزمایش و تجهیزات مورد استفاده

کلیه تیرها به صورت دو سر مفصل با بارگذاری ایستاد در وسط دهانه مورد آزمایش قرار گرفتند. برای حصول اطمینان از مفصلی بودن تکیه گاه، از یک سیستم غلتکی در محل نشیمن تیر استفاده شده است. همچنین به منظور توزیع مناسب بار و اجتناب از تمرکز نشیمن تیر از بارهای اعمالی، سه ورق فولادی به طول ۲۰۰ میلی متر و عرضی معادل عرض مقطع تیر و به ضخامت ۲۰ میلی متر در وسط دهانه و نیز در ناحیه تکیه گاهها قرار داده شده است. قبل از اعمال بار ورق ناحیه بارگذاری با استفاده از گروت (آراکس ۵۱۹) تراز شده است. بارگذاری به شیوه کنترل تغییر مکان^۱ با استفاده از نرم افزار سیستم کنترل فرآگیری اطلاعات (DACS)^۲ و به صورت دونفری در طول مدت آزمایش انجام شده است. نزد بارگذاری در ابتدای آزمایش و تا قبل از تغییر مکان ۲۵ میلی متری در وسط دهانه به صورت ۱ میلی متر در ۱۰۰ ثانیه، و در ناحیه غیرخطی پس از مرحله تسلیم آرماتورهای کششی، با نزد ۱ میلی متر در ۳۰ ثانیه منظور شد.

برای اندازه گیری تغییر مکان در وسط تیر و نیز در طول تیر و ناحیه تکیه گاهها، از ۵ عدد مبدل تغییر مکان بی ثبات خطی (LVDT)^۳ استفاده شده است. میزان کرنش در ناحیه وسط تیر در قسمت فشاری بتن، کرنش آرماتور کششی و کرنش آرماتور فشاری، و همچنین کرنش حداقل در ۹ نقطه از طول ورق تقویتی، با استفاده از نصب کرنش سنج های الکتریکی در طول زمان آزمایش اندازه گیری شد. علاوه بر کرنش سنج الکتریکی در وسط تیر، از کرنش سنج مکانیکی^{۱۱} نیز در ناحیه فشاری بتن، استفاده شده است. در ناحیه اعمال بار در زیر جک هیدرولیکی، از یک بارسنج^{۱۲} ۵۰ تی استفاده شد. برای اطمینان از درستی توزیع بار در تکیه گاهها نیز از دو عدد بارسنج ۳۰ تی استفاده شد.

پاسخ کلی نمونه های تقویت نشده

چنانچه در قسمت تعریف نمونه ها بیان شد، سه عدد از نمونه ها (I۲۰۰)، (I۳۰۰) و (I۵۰۰) تا حد بار نهایی، به شیوه کنترل تغییر مکان تحت بارگذاری قرار داده شدند. رفتار هر سه نمونه مطابق شکل ۴ الف و به صورت کاملاً انعطاف پذیر انجام شد، به طوری که پس از ایجاد تغییر شکل های بسیار بزرگ در تیر و در مجاورت گوشش های صفحه ای بارگذاری خردشگی بتن حادث شد. اولین ترک در همه نمونه ها در بار ۲۳ تا ۲۵ کیلو نیوتون مشاهده شده است. تسلیم آرماتورهای کششی در ناحیه وسط تیر نیز در بار ۱۲۰ تا ۱۴۰ کیلو نیوتون، انجام شده است (شکل ۴ ب). لازم به ذکر است که در باری بین دو حد بارگذاری خودگی و بار تسلیم آرماتورها، ترک های خمشی دیگری در تیرها به وقوع پیوست که برای هر یک از نمونه های مورد آزمایش، به صورت هم زمان، ترک ایجاد شده در هر مرحله از بارگذاری به همراه میزان بار مربوطه ثبت شد.

S_{cr-u}^f	S_{cr-l}^e	w_{cr}^d	P_e^c	ε_{60}^b	d_{cr}^a	نوع نمونه
۹۵	۱۵۲	۰,۲۸	۸۱	۱۲۶۹	۰	I۲۰۰
۸۷	۱۱۵	۰,۲۶	۹۵	۱۰۳۷	۲۰۰	I۳۰۰
۸۳	۱۲۴	۰,۱۲	۷۹	۱۶۳۳	۳۰۰	I۵۰۰

a: فاصله‌ی ترک بحرانی از وسط تیر (mm)

b: کرنش متاظر با تنش f_y در آرماتور کششی (میکرو استرین)

c: بار ایجاد کننده‌ی تنش f_y (kN)

d: عرض بازشدگی ترک در پایین تیر در بار ایجاد کننده‌ی تنش f_y (%)

e: فواصل متوسط بین ترک‌ها متاظر با تنش f_y (%)

f: فواصل متوسط بین ترک‌ها در بارنهایی (mm)

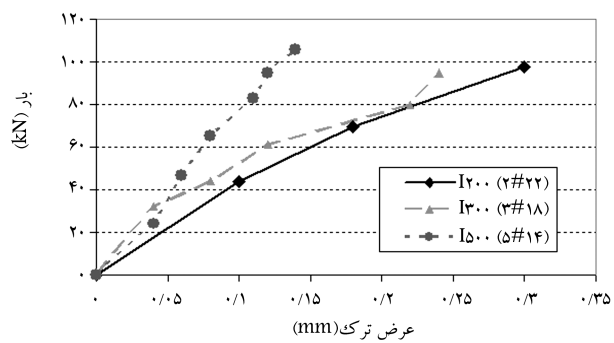
تیرها که دارای مقادیر بیشینه‌ی لشکر خمشی و نیروی برشی است، حاکی از رفتار درست نمونه‌های است. همچنین عرض بازشدگی ترک بحرانی در وجه کششی تیر (ستون ۵ جدول)، مشابه عرض ترک در وجه جانشی تیر، برای نمونه‌های با قطر میلگرد بزرگ‌تر دارای مقدار بیشتری است. مقایسه‌ی فاصله‌ی متوسط ترک در بار ایجاد کننده‌ی 60% تنش تسليم میلگردها و بارنهایی (ستون ۶ و ۷ جدول)، نشان می‌دهد که با اعمال بارهای بزرگ‌تر از بار سرویس، امکان کاهش فاصله‌ی بین ترک‌ها نیز وجود دارد. در این خصوص پژوهش‌گران بر این باورند که برای پوشش بتن تا حدود ۷۵ میلی‌متر، یک تنش بحرانی برای آرماتورهای کششی وجود دارد که در آن، فواصل بین ترک‌ها ثابت می‌شود.^[۶] این مقدار تنش را حدود ۱۴۰ تا ۲۰۰ مگاپاسکال (ksi) (۲۰-۳۰)^[۷] ذکر کردند. با توجه به شکل ۴ ب مقدار تنش فوق در محدوده‌ی بار ۴۵ تا ۶۵ کیلو نیوتون قرار می‌گیرد. در این محدوده‌ی بار نیز چنانچه در شکل ۵الف مشاهده می‌شود، وضعیت فاصله‌ی بین ترک‌ها هنوز به حالت پایدار نرسیده است. بررسی ترک‌های ایجادشده در تیرهای با آرایش مختلف میلگردهای کششی نشان می‌دهد که در حدود تنش تسليم آرماتورهای کششی، فاصله بین ترک‌های خمشی، به حالت تقریباً پایدار می‌رسند.

تحلیل ترک در تیرهای بتن آرمه

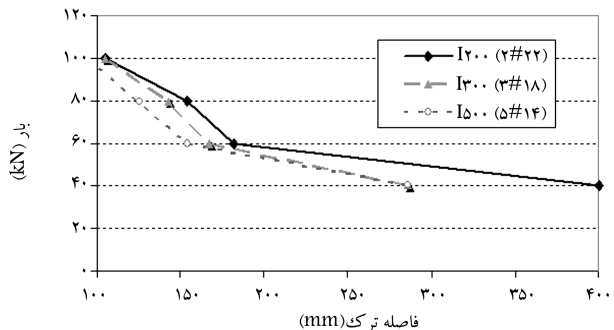
مسئله‌ی کنترل ترک‌های خمشی با استفاده از روش کمیت z، از سال ۱۹۷۱ در آین نامه‌ی بتن آمریکا، ACI ۳۱۸ لحاظ شد. این روش از رابطه‌ی اصلاح شده‌ی گرگلی - لوئز (رابطه‌ی ۲)، که براساس یک ارزیابی آماری از اطلاعات مربوط به عرض ترک‌های حاصل از آزمایشات به دست آمد،^[۷] گرفته شده است.

$$w_b = 1,102 \times 10^{-5} \beta / f_s \sqrt{d_c A} \quad (2)$$

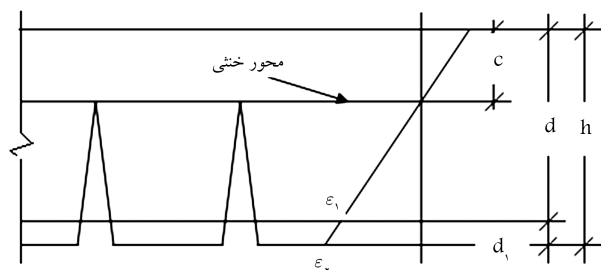
در این رابطه w_b بیشترین عرض بازشدگی پایین ترک به میلی‌متر، β نسبت فاصله‌ی محور خشنی از دورترین تارکشی مقطع به فاصله‌ی محور خشنی تا مرکز آرماتورهای کششی، f_s تنش میلگرد بر حسب مگاپاسکال، d_c پوشش محافظت در ناحیه‌ی آرماتورهای کششی محاسبه شده از مرکز آرماتور بر حسب میلی‌متر و A مساحت مؤثر متوسط بتن اطراف میلگردهای کششی بر حسب mm است. چنانچه مشاهده می‌شود، در رابطه‌ی فوق پوشش بتن نقش اساسی در کنترل عرض ترک دارد و طراحان برای کاهش عرض ترک، تغییر به کاهش پوشش بتن می‌شوند. محققین



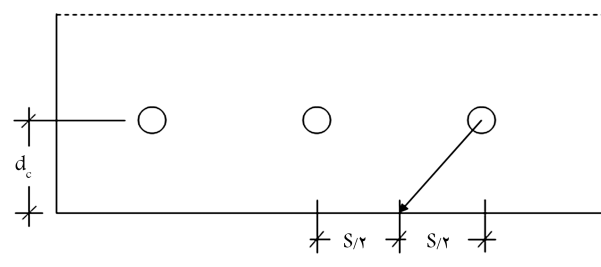
الف) منحنی بار بر حسب فاصله‌ی ترک در نمونه‌های شاهد؛



ب) منحنی بار بر حسب عرض بازشدگی ترک در ۳۰ میلی‌متر از وجه کششی تیر.
شکل ۵. منحنی بار - فاصله‌ی ترک و بار - عرض بازشدگی ترک در نمونه‌های شاهد.



الف) فرض تغییرات خطی کرنش برای محاسبه‌ی عرض ترک در وجه کششی تیر؛



ب) فاصله‌ی پوشش کنترل کننده‌ی فواصل ترک.

شکل ۶. تغییرات خطی کرنش و فاصله‌ی پوشش کنترل کننده و فواصل ترک.
۱) فاصله‌ی محل اندازه‌گیری عرض ترک تا دورترین تارکشی مقطع تیر (در این تحقیق ۳۰ میلی‌متر) است. چنانچه در شکل ۵ ب مشاهده می‌شود، در بارهای مساوی مقدار بازشدگی عرض بزرگ‌ترین ترک خمشی در تیرهای با تعداد آرماتور کم تر، بیشتر است. در جدول ۳ خلاصه‌ی از نتایج آزمایشات مربوط به وضعیت ترک‌های ایجاد شده در نمونه‌های تقویت نشده آورده شده است.
چنانچه مشاهده می‌شود، ترک بحرانی ایجادشده در نزدیکی ناحیه‌ی میانی

که در آن l_f فاصله‌ی بین ترک‌ها به mm و f_s تنش در آرماتور کششی به MPa است. در این رابطه برای محاسبه‌ی l_f از روابط ۸ و ۹ استفاده می‌شود:

$$l_f = ۹e' + (۰,۶۵ + ۰,۳۵e')(\Phi - ۱۰) \quad \text{if } \Phi > ۱۰ \text{ mm} \quad (۸)$$

$$l_f = ۹e' \quad \text{if } \Phi \leq ۱۰ \text{ mm} \quad (۸)$$

در رابطه‌ی ۸، Φ قطر آرماتور به میلی‌متر و $e' = (۰,۸ + ۰,۲c')/m\Phi$ است که در آن c پوشش خالص بتن به میلی‌متر b عرض مقطع تیر به میلی‌متر و m تعداد میلگرد کششی تیر است. همچنین برای محاسبه‌ی عرض ترک در تیرها d پیشنهاد شد:^[۱۰]

$$W_{s,max} = ۲W_f \left[۱ - \frac{۴۰۰ - f_s}{۴۰۰ + ۵۰۰W_f} \right] \quad (\text{mm}) \quad (۹)$$

که در آن $W_{s,max}$ بیشینه‌ی بازشدگی عرض ترک در تراز میلگردهای کششی است. W_f نیز از رابطه‌ی ۱۰ محاسبه می‌شود.

$$W_f = ۰,۰۰۷ \{ e' + ۰,۲\Phi(۱ + ۰,۴e') \} \quad (\text{mm}) \quad (۱۰)$$

حداکثر عرض بازشدگی ترک در سطح کششی تیر ($W_{t,max}$) از رابطه‌ی ۱۱ به دست می‌آید؛ که h عمق کلی تیر به میلی‌متر است.

$$W_{t,max} = W_{s,max} \{ ۱/۴۳(h/d) - ۰,۴۳ \} \quad (۱۱)$$

با توجه به موارد فوق، مقادیر عرض بازشدگی ترک‌ها در نمونه‌های شاهد، در باری معادل ۶/۶٪ تنش تسلیم آرماتورهای کششی و مقادیر عرض ترک که توسط روابط ۲، ۳، ۶ و ۱۱ که در این تحقیق به آن‌ها اشاره شده است، در جدول ۴ نشان داده شده است. چنانچه از نتایج ارائه شده در این جدول مشاهده می‌شود، روابط ۲ (گرگلی - لوتسا) و ۳ (کاروماتک) نسبت به روابط ۶ (برس) و ۱۱ (پیاسنا)، برای پیش‌بینی عرض ترک، نتایج غیر واقعی تری را ارائه می‌دهد. لازم به ذکر است که در آین نامه‌ی ACI ۳۱۸-۹۵ و نسخه‌های قبل از آن، برای پیش‌بینی عرض بازشدگی ترک، از نتایج تحقیقات گرگلی-لوتسا استفاده می‌شد ولی در ویرایش جدید آین نامه‌ی ۲ ACI ۳۱۸-۰، از یافته‌های برس برای پیش‌بینی عرض ترک استفاده شده است.

پاسخ کلی نمونه‌های تقویت شده
متغیرهای بار - تغییر مکان وسط تیر برای نمونه‌های تقویت شده در شکل ۷ نشان داده شده است. شکل ۷ الف نشان دهنده متغیرهای بار - تغییر مکان برای نمونه‌هایی است که قبل از اعمال هرگونه بار ورق‌های CFRP بر روی وجه زیرین

جدول ۴. مقایسه‌ی پیش‌بینی عرض ترک در نمونه‌های شاهد با روابط سایر محققان (mm).

در صد رابطه‌ی ۱۱ خطای (پیاسنا و همکاران)	در صد رابطه‌ی ۶ خطای (برس)	در صد رابطه‌ی ۴ خطای (۱/۴۳(h/d) - ۰,۴۳)	در صد رابطه‌ی ۳ خطای (کاروماتک)	در صد رابطه‌ی ۲ خطای (گرگلی-لوتسا)	عرض ترک (mm)	نوع نمونه
۱۲	۱۸	۰,۳۲۹۱	۱۷	۰,۳۲۶۴	۲۴	I۲۰۰
۵	۱۸	۰,۲۱۳۳	۱۶	۰,۳۰۱۵	۱۶	I۳۰۰
۴۷	۲۹	۰,۱۵۵۳	۱۱۱	۰,۲۴۱۶	۱۰۱	I۵۰۰
۲۱	۲۲	۰,۱۷۶۲	-	-	۴۷	متغیر خطای

از رابطه‌ی ۳ برای محاسبه‌ی بیشترین عرض بازشدگی پایین ترک استفاده کردند که همه‌ی متغیرهای آن مشابه رابطه‌ی ۲ است.^[۸]

$$w_b = ۸,۴۰۷ \times ۱۰^{-۵} \beta / f_s \sqrt{A} \quad (۳)$$

طبق تحقیقات اخیر ثابت شده که پوشش بیشتر بتن بر روی آرماتورها، باعث بهبود شرایط دوام بتن می‌شود. بهمین دلیل در روابط جدید محاسبه‌ی عرض ترک، سعی شده این مستانه لحظه شود. در یک رویکرد فیزیکی، بازشدگی عرض ترک در سطح آرماتورهای کششی با رابطه‌ی ۴ نشان داده شده است:^[۷]

$$w_c = \varepsilon_s / S_c \quad (۴)$$

که در آن w_c عرض ترک، $\varepsilon_s = f_s/E_s$ کرنش فولاد کششی، S_c فاصله‌ی بین ترک‌ها، f_s تنش فولاد کششی و E_s مدول ارتجاعی آرماتور کششی است. در رابطه‌ی ۴ فرض برآن است که آرماتور کششی بتن در طول فاصله‌ی ترک به صورت یکنواخت کشیده می‌شود. همچنین از کرنش کششی بتن در مقابل کرنش کششی آرماتور، به دلیل مقدار کم آن، صرف نظر شده است. صرف نظر از کرنش کششی بتن، منجر به تخمین محافظه‌کارانه‌تری از عرض ترک می‌شود.

براساس تحقیقات تجربی و تحلیلی انجام شده،^[۹] فواصل بین ترک‌ها به بیشینه پوشش بتن بستگی دارد. کمترین فاصله‌ی ترک‌های نظری برابر فاصله‌ی نقطه‌ی شروع ترک خودگرددگی تا مرکز نزدیک ترین آرماتور در نظر گرفته شد. همچنین نسبت بین فواصل بیشینه به کمینه‌ی ترک‌ها را معادل ۲ در نظر گرفت. با توجه به توضیح فوق، فواصل بین ترک‌ها به شکل رابطه‌ی ۵ نشان داده شد:

$$S_c = \Psi_s \cdot d^* \quad (۵)$$

که در آن S_c فاصله‌ی ترک خودگرددگی، d^* فاصله‌ی پوشش کنترل کننده (مطابق شکل ۶) و Ψ_s ضریب فاصله‌ی ترک است. برای کمترین فاصله‌ی ترک، $\Psi_s = ۱,۰$ برای متوسط فاصله‌ی ترک و ۲ برای بیشترین فاصله‌ی ترک است. بیشینه‌ی بازشدگی عرض ترک در وجه کششی تیر با استفاده از رابطه‌ی ۴ به صورت رابطه‌ی ۶ بیان شد. در این رابطه $w_c = ۰,۰۸dc + ۱,۰ = \beta$ است.

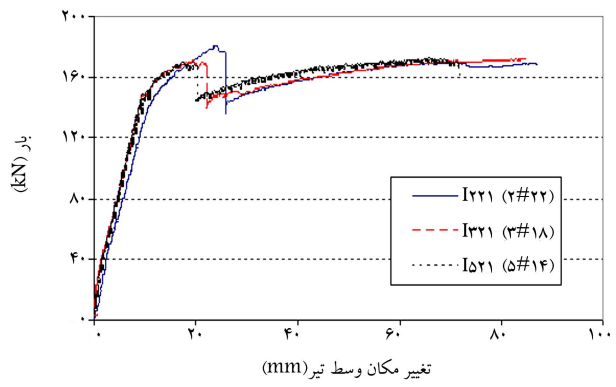
$$w_c = ۲ \frac{f_s}{E_s} \beta \sqrt{d_c^* + \left(\frac{s}{2}\right)^2} \quad (۶)$$

در یک مطالعه‌ی تحلیلی، رابطه‌ی تجربی ۷ برای محاسبه‌ی فواصل بین ترک‌ها در تیرهای بتن آرمه با عمق مؤثر دست کم ۳۰۰ mm میلی‌متر ($d \geq ۳۰۰$ mm) پیشنهاد شد.^[۱۱]

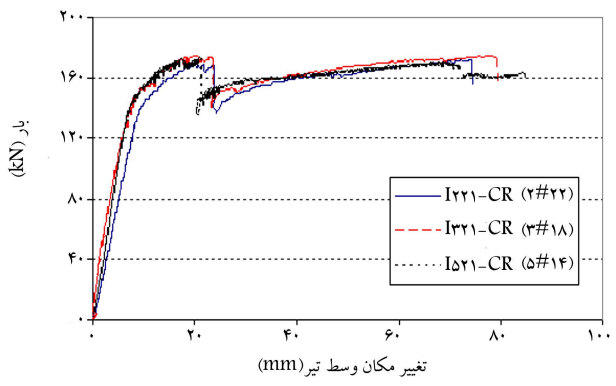
$$l_c = \left[\frac{۲۰۰}{f_s} + ۰,۵ \right] l_f \quad (۷)$$

آنها چسبانده شده‌اند. شکل ۷ ب منحنی بار- تغییر مکان را برای نمونه‌های نشان می‌دهد که قبل از تقویت، حدود ۷۰٪ بار ناچیه‌ی کشسان را تجربه کرده و در آن‌ها، ترک‌های خمشی ایجاد شده است. عرض ترک‌های خمشی ایجاد شده در این تیرها قبل از باربرداری به حدود $1/3$ میلی‌متر می‌رسد. جداشده‌ی در کلیه‌ی نمونه‌ها، از نوع جداشده‌ی میانی و در باری حدود ۱۶۰ تا ۱۸۰ کیلو نیوتون انجام شده است. هنگام جداشده‌ی ورق تقویتی، معمولاً لایه‌ی از پوشش بن به ضخامت حداقل ۳ میلی‌متر و در مواردی تا ضخامت ۵۰ تا ۴۰ میلی‌متر به سطح ورق تقویتی متصل می‌ماند، که نشان می‌دهد گسیختگی در لایه‌ی بن انجام شده است. در شکل ۸ ب نیز نمایی نزدیک از جداشده‌ی میانی ورق نشان داده شده است.

فاصله‌ی متوسط ترک‌های ایجاد شده در طول ۲ متری وسط تیرهای تقویت شده در شکل ۹ الف نشان داده شده است. مقایسه‌ی این شکل با منحنی شکل ۵ الف نشان می‌دهد که فاصله‌ی بین ترک‌ها در تیر تقویت شده در باری معادل بارهای بهره‌برداری، نسبت به فاصله‌ی بین ترک‌ها در تیر تقویت شده در همان مقدار بار تقریباً مساوی است. به عبارت دیگر ترک‌های جدیدی غیر از آنچه که قبلاً در بارهای بهره‌برداری و قبل از تقویت در تیر ایجاد شده بود، در تیر تقویت شده ایجاد نمی‌شود. البته این واقعیت را می‌توان از شیب خطی شاخه‌ی صعودی منحنی بار- تغییر شکل (شکل ۷ ب) استنباط کرد. چنانچه در منحنی شکل ۷ الف مشاهده می‌شود، در باری حدود ۴۰ کیلو نیوتون کاهشی اندک در شیب منحنی بار- تغییر مکان وسط تیر ایجاد شده است که بیان‌گر ایجاد اولین ترک‌ها در نمونه‌های تقویتی است. مقایسه‌ی این منحنی با منحنی شکل ۷ ب به‌وضوح نشان می‌دهد که تیر تقریباً هیچ‌گونه کاهش سختی ندارد و به عبارت دیگر، بارگذاری مجدد تیرهای تقویت شده که قبل از تقویت

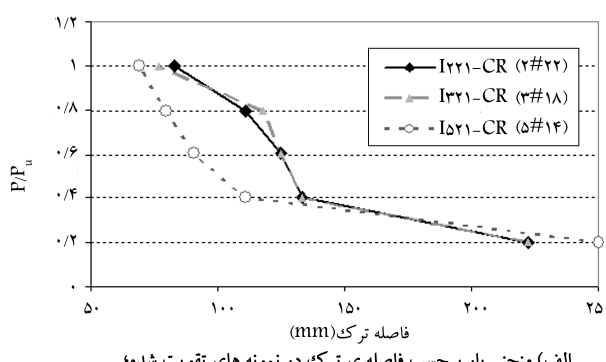


(الف) بدون اعمال بار سرویس قبل از تقویت؛

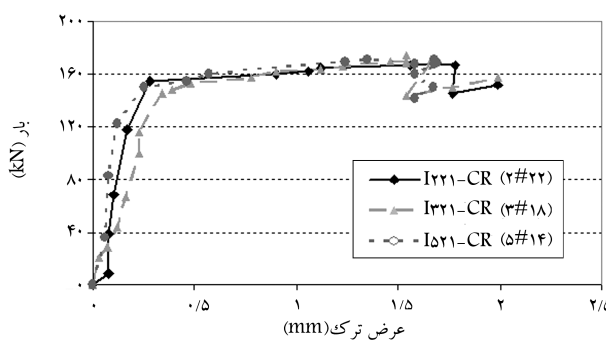


(ب) با اعمال بار سرویس.

شکل ۷. منحنی بار- تغییر شکل برای تیرهای بتن آرمه‌ی تقویت شده.

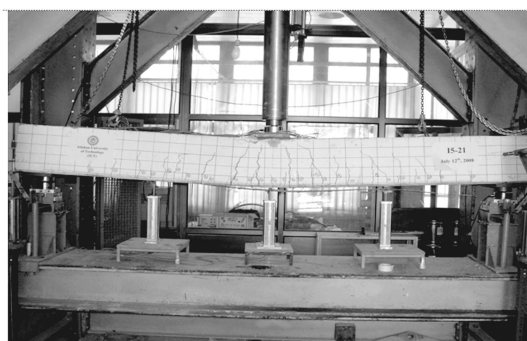


(الف) منحنی بار بر حسب فاصله‌ی ترک در نمونه‌های تقویت شده؛



ب) منحنی بار بر حسب عرض بازشدگی ترک بحرانی در نمونه‌های تقویت شده.

شکل ۹. منحنی‌های بار- فاصله‌ی ترک و بار- عرض بازشدگی ترک در نمونه‌های تقویت شده.



(الف) نمایی از تیر بتن آرمه‌ی تقویت شده پس از جداشده‌ی ورق FRP؛



ب) نمای نزدیک از جداشده‌ی میانی ورق تقویتی.

شکل ۸. نمای کلی از تیرهای مورد آزمایش و نمای نزدیک از جداشده‌ی ورق تقویتی.

جدول ۵. خلاصه نتایج مستخرج از آزمایشات انجام شده در لحظه‌ی جدا شدن ورق تقویتی.

نمونه	P_d^1 (kN)	Δ_{\max}^1 (mm)	$\varepsilon_f^1 \max$ (μ s)	D_d^1 (mm)	W_{\max}^1 (mm)	G^1 (kN.mm)
I221	۱۸۰	۲۴/۱	۹۹۱۰	N.A.	N.A.	۳۲۶۱
I321	۱۷۰/۲۵	۲۲/۱	۶۸۶۷	N.A.	N.A.	۲۸۹۴
I521	۱۶۹/۵	۱۹/۹	۶۱۹۰	N.A.	N.A.	۲۴۷۳
I221-CR	۱۶۸/۷۵	۲۳/۹	۵۵۸۴	۸۳	۱/۷۸	۳۰۰۴
I321-CR	۱۷۳/۷۵	۲۲/۵	۶۵۲۰	۷۷	۱/۵۴	۳۲۲۱
I521-CR	۱۷۳	۲۱/۱	۵۹۴۰	۶۹	۱/۳۵	۲۷۶۶

۱. بار نهایی جداشدنی؛ ۲. تغییر مکان بیشینه در وسط تیر؛ ۳. بیشترین کرنش طولی ورق تقویتی؛ ۴. فاصله‌ی متوسط بین ترک‌ها؛

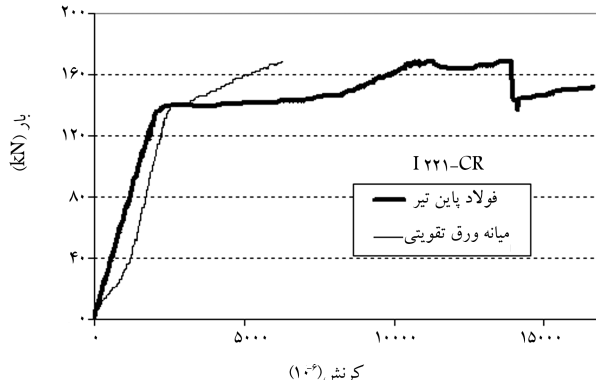
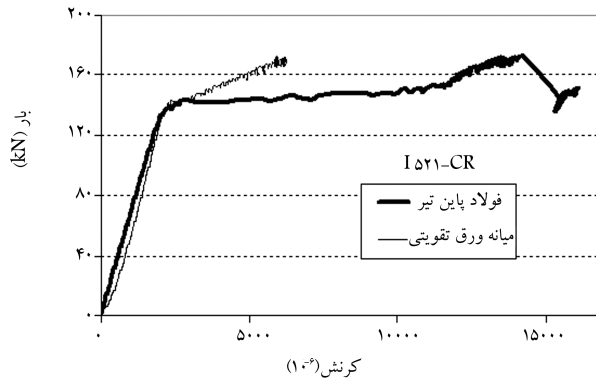
۵. بیشینه بازشدنی عرض بزرگ‌ترین ترک خمشی؛ ۶. سطح زیر منحنی بار - تغییر مکان وسط تیر.

متمايز می‌شوند؛ وجود اين تمايز که با بازشدن و عريض شدن ترک‌های خمشی در وجه زيرین تیر و در مجاورت ورق تقویتی همراه است، می‌تواند نشانه‌ی برای آغاز جداشدنی‌های موضعی در ورق تقویتی باشد.

به منظور بسط رابطه‌ی تحليلي برای پيش‌بيشني کشتيل مشخصات ترک در تيرهای بتن آرميه تقویت شده با صفحات CFRP از رابطه‌ی ۱۲ استفاده شده است. از اين رابطه برای محاسبه‌ی فواصل بین ترک‌ها در جداشدنی انتهائي ورق 13° در مدل‌های بتن دندانه‌ي 14° هم استفاده می‌شود.^[۱۲, ۱۱]

$$a_{\min} \left(u_s \sum O_{bars} + u_p \cdot b_p \right) = A_e f_{ru} \quad (12)$$

که در آن a_{\min} کمینه فاصله‌ی بین ترک‌های خمشی، u_s تنش چسبندگی بین آرماتور و بتن، O_{bars} محیط آرماتورهای کششی، b_p و u_p به ترتیب عرض ورق تقویتی و



شکل ۱۰. منحنی بار-کرنش آرماتور کششی و ورق FRP در وسط دو نمونه از تیرهای تقویت شده.

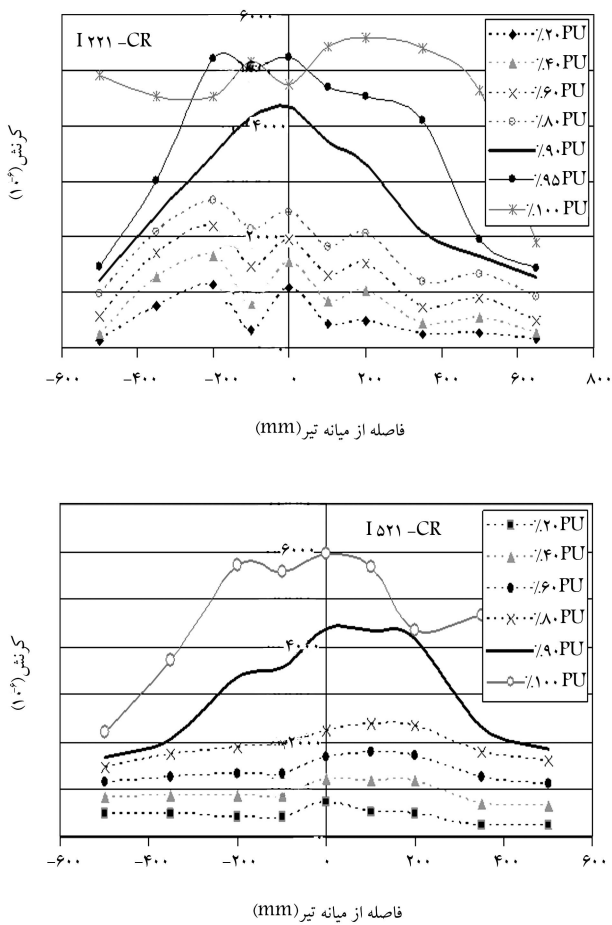
بارهای بهره‌برداری به آن‌ها وارد شده است، ابتدا منجر به بازشدنی ترک‌های پیشین در تیر می‌شود و ایجاد ترک‌های جدید، منوط به افزایش بارگذاری پس از ناحیه‌ی خطی و کشسان تیر است.

با توجه به مقادیر ثبت شده در مورد کرنش‌ها، تغییر شکل‌ها و مشخصات ترک، مقادیر مرتبط با لحظه‌ی جداشدنی ورق تقویتی از سطح بتن، به صورت خلاصه در جدول ۵ نشان داده شده است.

چنانچه از موارد مندرج در جدول ۵ ملاحظه می‌شود، مقادیر مربوط به عرض بازشدنی ترک در تیرهای تقویت شده با صفحات CFRP از قواعد مربوطه در تیرهای بتن آرميه بدون ورق تقویتی تعیت می‌کند. به عبارت دیگر در تیرهای بتن مسلح، انتظار می‌رود در صورت استفاده از میلگرد های کم قطره‌ی ترک، ترک‌ها در طول تیر بهتر توزیع شوند و با توزیع مناسب ترک در طول، از عرض بازشدنی ترک نیز کاسته شود. در مردمد نتایج حاصله نیز با کاهش قطر میلگرد از $1/78$ به $1/22$ در مدل‌های متواضع بین ترک از 83° به 69° میلی‌متر کاهش یافته که نشان دهنده‌ی توزیع بهتر ترک در طول تیر است. همچنین با کاهش قطر میلگرد، عرض ترک نیز از $1/78$ به $1/22$ میلی‌متر به $1/35$ میلی‌متر کاهش یافته است. مقایسه‌ی بار بیشینه‌ی قابل تحمل تیرها (شکل ۷)، تفاوت معنی‌داری در بار جداشدنی ورق بر اثر تغییر در آرایش آرماتورهای خمشی نشان نمی‌دهد. بدینهی است نتیجه‌ی قطعی منوط به انجام آزمایشات تکمیلی است.

تحلیل ترک در تیرهای بتن آرمه تقویت شده

پس از تسیل آرماتورهای کششی و در ادامه بارگذاری، پتانسیل ایجاد ترک‌های افقی بین سطحی در مجاورت ورق تقویتی در تیر ایجاد می‌شود. این ترک‌ها بر اثر عرضی غیرخطی ترک‌های خمشی در میانه‌ی تیر احتمال وقوع می‌یابند. پس از تسیل میلگرد های کششی، تحریض ترک‌های خمشی با نخ فراینده‌ی ادامه یافته و در روند افزایش کرنش در آرماتور کششی و ورق تقویتی به صورت ناگهانی تغییراتی حادث می‌شود. این تفاوت فاحش، ناگهانی و غیرخطی کرنش در آرماتور کششی و ورق تقویتی در میانه‌ی تیر و در لحظه‌ی جداشدن آرماتور FRP در تمامی نمونه‌های تقویت شده در هنگام آزمایش ثبت شده است. شکل ۱۰ این تفاوت کرنش را بهوضوح در دو نمونه از تیرهای تقویت شده نشان می‌دهد. همان‌طور که در این دو شکل دیده می‌شود، تسیل آرماتورهای کششی در کرنشی معادل 200° میکرواسترین حاصل می‌شود. در این حال کرنش ورق FRP نیز تقریباً در همین حدود است. پس از این ناحیه و در حدود کرنش 300° میکرواسترین، نخ افزایش کرنش در میلگرد و در ورقه‌ی تقویتی کاملاً متمايز و منحنی‌های بارگذاری شده از دو ماده از یکدیگر



شکل ۱۱. توزیع کرنش‌های طولی در ورق تقویتی در سطح مختلف با رگزاری.

تیر با تعداد میلگردهای خمی بیشتر (I521-CR)، کمتر از یک‌سوم طول قبلی و فقط حدود ۳۵۰ متر است. این موضوع نشان می‌دهد که با کاهش تعداد آرماتورهای کششی، پروفیل کرنش طولی ورق FRP در بارهای نهایی، در طول بیشتری از تیر ثابت و یکنواخت می‌شود. به عبارت دیگر، طول بیشتری از ورق تقویتی به کرنش‌های بیشینه‌ی قبل از جداشده‌ی می‌رسد و شاید به همین دلیل، مقدار تغییر مکان وسط تیر در نمونه‌های با تعداد آرماتور طولی کمتر، در لحظه‌ی جداشده‌ی ورق تقویتی بیشتر از دیگر نمونه‌ها به دست آمده است. همگنی بیشتر بتن در ناحیه‌ی بالایی و پایینی آرماتورهای کششی -- در حالتی که تعداد میلگردهای خمی کمتری در تیر استفاده می‌شود -- می‌تواند دلیلی بر رفتار بهتر تیر و یکنواختی کرنش در طول بیشتری از میانه‌ی تیر باشد.

کرنش‌های طولی بیشینه‌ی ثبت شده برای ورق FRP در ناحیه‌ی اتصال ورق تقویتی به سطح بتن نشان می‌دهد که ورق تقویتی تا کرنش ۵۵۰ میکرواسترین را به خوبی تحمل کرده، ولی کرنش‌های طولی بیشتر منجر به جدایش ورق از سطح بتن شده است. بر این اساس، محققین مختلف درخصوص جلوگیری از پدیده‌ی جدایش ورق تقویتی، محدودیت‌هایی را برای کرنش طولی ورق بیشنهاد کرده‌اند. در این خصوص، عده‌بی دارای نواحی دارای نیروی بزرگ برشی و هم‌زمان نواحی لنگر بزرگ خمی عدد ۶۰۰، و عده‌بی کرنش ۵۰۰٪ را بیشنهاد کرده‌اند.^[۱۲، ۱۴] لازم به ذکر است که فقط محدودکردن میزان کرنش محوری ورق تقویتی در کتربل پدیده‌ی جداشده‌ی به نهایی کافی نیست، بلکه یکنواختی پروفیل کرنش در طول بیشتری

تش چسینندگی صفحات CFRP و بتن، A_e سطح مؤثر بتن در اطراف میلگرد کششی (هم‌مرکز با مرکز سطح میلگردهای کششی مقطع) و f_{ru} مقاومت خمی بتن است که طبق آئین نامه‌ی ACI ۳۱۸ برابر $\sqrt{f_c} / ۷$ در نظر گرفته می‌شود. با در نظر گرفتن مقادیر $C = ۲۸\sqrt{f_c}$ و ۵ مگاپاسکال به ترتیب برای u_s و u_p ^[۱۳] در تحقیق حاضر با الهام از تشن نهایی چسینندگی بین میلگردهای آج دار و بتن در مبحث طول مهاری میلگردهای تحت کشش، رابطه‌ی ۱۳ برای مقدار u_s پیشنهاد می‌شود:

$$u_s = \frac{\left(\frac{C + K_{tr}}{d_b} \right) \times 1/\sqrt{f_c}}{47} \quad (13)$$

که در آن جمله‌ی داخل پرانتز را نباید از $2/5$ بزرگ‌تر در نظر گرفت. در رابطه‌ی C ، برابر کیمیه‌ی: ۱. نصف فاصله‌ی مرکز تا مرکز میلگردهای کششی؛ ۲. فاصله‌ی مرکز میلگرد تا نزدیک‌ترین وجه بتن است. K_{tr} شاخص آرماتور عرضی، و برابر با $10sn / A_{tr}f_{yt}$ است. در این رابطه همچنین A_{tr} و f_{yt} به ترتیب سطح مقطع و مقاومت مشخصه‌ی تسلیم فولادهای عرضی، s بیشینه فاصله‌ی مرکز تا مرکز فولادهای عرضی و n تعداد میلگردهای کششی است. برای ساده‌سازی، (و حتی در صورت وجود آرماتور عرضی) می‌توان K_{tr} را برابر صفر در نظر گرفت.^[۱۴] قطر میلگرد و γ نیز ضریب اندازه‌ی آرماتور عرضی با قطر 18 میلی‌متر و کمتر، برابر 0.8 و برای میلگردهای بزرگ‌تر معادل 1.0 در نظر گرفته می‌شود. کلیه‌ی متغیرها بر حسب نیوتون و میلی‌متر در روابط 12 و 13 جایگزین می‌شوند.

تغییر طول بین ورق تقویتی و بتن در حد فاصل دو ترک مجاور را می‌توان به عنوان عرض ترک در نظر گرفت. بنابراین بیشینه عرض بازشده‌ی ترک (w_{max}) را می‌توان از روی بیشترین فاصله‌ی بین دو ترک مجاور (a_{max}) و کرنش ورق (ε_p)، مطابق رابطه‌ی 14 ، محاسبه کرد. در این روابط معمولاً فاصله‌ی بیشینه‌ی ترک، 2 برابر فاصله‌ی کمینه‌ی ترک در نظر گرفته می‌شود.^[۱۱]

$$w_{max} = a_{max} \varepsilon_p \quad (14)$$

بدیهی است عرض بیشینه‌ی بازشده‌ی ترک که به صورت نظری در تیر می‌تواند ایجاد شود، با جایگزین کردن مقدار کرنش نهایی ورق در رابطه‌ی 14 محاسبه می‌شود، ولی به دلیل جداشده‌ی زوردرس ورق تقویتی از سطح بتن و نرسیدن کرنش طولی ورق به کرنش نهایی، این مقدار بازشده‌ی قابل حصول نیست. در شکل ۱۱ توزیع کرنش‌های طولی ثبت شده در یک‌متراز ناحیه‌ی میانی تیر برای ورق تقویتی CFRP، در دو نمونه‌ی مختلف تقویت شده نشان داده شده است.

چنانچه از نمودار توزیع کرنش طولی ورق تقویتی در سطح مختلف با رگزاری مشاهده می‌شود، در سطح بارهای بیش از 80% بار نهایی نمونه‌ها، پروفیل کرنش از حالت تقریباً یکنواخت قبلی خود خارج می‌شود و در نواحی زیادی از طول ورق، نزد کرنش به شدت افزایش می‌یابد. مثلاً در تیر تقویت شده‌ی I221-CR، با افزایش مقدار بار از 80% به 90% بار نهایی، کرنش طولی ورق تقویتی از حدود 250 میکرواسترین در میانه‌ی تیر به حدود 450 میکرواسترین افزایش یافته است، در حالی که با افزایش بار از 70% به 80% بار نهایی، کرنش طولی ورق فقط 500 میکرواسترین بیشتر شده است. این مسئله نشان‌دهنده‌ی شروع جداشده‌ی ورق و آغاز رفتار غیرخطی در نمونه‌هاست. این رفتار در مشاهدهات دیگر محققین نیز ثبت شده است.^[۱۵، ۱۶] دقت نظر در منحنی توزیع کرنش‌های طولی (شکل ۱۱) نشان می‌دهد که در بار نهایی، میزان کرنش طولی ورق تقویتی در طول 1 متری از میانه‌ی تیر تقریباً مساوی و در حدود 500 نتا 500 میکرواسترین است؛ اما این طول در

نمونه	فواصل بین ترک (mm)			عرض ترک بحرانی (mm)		
	آزمایشگاهی ۱۲	رابطه‌ی درصد خطا	آزمایشگاهی ۱۴	رابطه‌ی درصد خطا	آزمایشگاهی ۱۴	رابطه‌ی درصد خطا
I221-CR	۸۳	۹۴,۱	۱۳	۱,۷۸	۱,۲۳	۳۱
I321-CR	۷۷	۷۰,۲	۱۰	۱,۵۴	۱,۰۲	۳۴
I521-CR	۶۹	۶۸,۴	۱	۱,۳۵	۰,۸۷	۳۶
متوسط خطأ			۸			۳۴

- تیر می‌شود. این نوع توزیع یکنواخت ترک، عرض بازشدنی کمتری را نیز ایجاد می‌کند.
- در مراحل ابتدایی بارگذاری و در ناحیه‌ی خطی منحنی بار- تغییر مکان، عرض ترک متاثر از آرایش میلگرد های کششی است. به عبارت دیگر قطر کمتر میلگرد، عرض بازشدنی کمتری را در این ناحیه به دنبال دارد؛ ولی پس از ناحیه‌ی خطی، آرایش های مختلف میلگرد کششی تأثیری بر عرض بازشدنی ترک ندارد.
- در تنش های کششی در حد تسلیم آرماتور، تقریباً فواصل بین ترک ها ثابت شده و آرایش میلگرد تأثیری بر فواصل نهایی ترک پس از تسلیم میلگرد ندارد.
- بارگذاری مجدد تیرهای تقویت شده که قبل از تقویت تحت بارهای در حد بار بهره برداری قرار گرفته اند، ابتدا منجر به بازشدنی ترک های پیشین در تیر می‌شود و ایجاد ترک های جدید منوط به افزایش بارگذاری به میزان بیشتر از بار بهره برداری است.
- توزیع کرنش محوری در ورق تقویتی برای تیرهای با تعداد آرماتور کششی کمتر، از یکنواختی بیشتری برخوردار است.
- پدیده‌ی جدادشگی ورق FRP از سطح بن، تقریباً از کرنش های محوری حدود ۲۰۰ میکرواسترین شروع، و احتمال وقوع آن در کرنش حدود ۵۵۰ میکرواسترین بیشتر است.
- محدو دکردن میزان کرنش محوری ورق FRP در کتترل پدیده‌ی جدادشگی ورق به تنهایی کافی نیست. یکنواختی پروفیل کرنش در طول بیشتری از تیر، اهمیت بیشتری در مهار جدادشگی ورق تقویتی دارد.
- آرایش تسلیح داخلی تیرهای بن آرمه، اثرات قابل توجهی در بار جدادشگی ورق تقویتی ندارد.

پانوشت

- carbon fiber reinforced polymer
- fiber reinforce polymer
- debonding
- intermediate crack debonding (IC)
- critical diagonal crack debonding (CDC)
- wet lay up
- under reinforced concrete
- displacement control
- data acquisition control system
- linear variable displacement transducer
- demec gauge
- load cell
- plate end debonding
- tooth concrete models

منابع

- Gergely, P. "Role of cover and bar spacing in reinforced concrete," *Significant Development in Engineering Practice and Research: A Tribute to Chester P. Siess*, SP-75, American Concrete Institute, Farmington Hills, Mich., pp. 133-147 (1981).

- Design Guidelines for RC Structure Retrofitted with FRP and Metal Plates: Beam and Slabs, Center for Infrastructures Diagnosis Assessment and Rehabilitation (CIDAR), The University of Adelaide, <http://www.civeng.adelaide.edu.au/> Index. Html, (1995).
- ACI Committee 318, *Building Code Requirements for Reinforced Concrete (ACI 318-95)*, American Concrete Institute, Detroit (1995).
- Standard Association of Australia (AS 3600), *Concrete Structures*, Standards Association, Sydney, Australia (2001).
- British Standard Institute, *Structural Use of Concrete: Code of Practice for Design and Construction, BS 8110: Part 1*, British Standard Institute, England (1997).
- Frosch, R.J. "Another look at cracking and crack control in reinforced concrete," *ACI Structural Journal*, **96**(3), pp. 437-442 (1999).

7. Gergely, P. and Lutz, L.A. "Maximum crack width in reinforced concrete flexural members," Causes, Mechanism, and Control of Cracking in Concrete, SP-20, American Concrete Institute, Farmington Hills, Mich., pp. 87-117 (1968).
8. Kaar, P.H. and Mattock, A.H. "High-strength bars as concrete reinforcement", Part 4: *Control of Cracking*, *Journal of Portland Cement Association Research and Development Laboratories*, **7**, (1), pp.42-53 (1963).
9. Broms, B.B. "Crack width and crack spacing in reinforced concrete members," *ACI Journal, Proceeding*, **62**(10), pp. 1237-1255 (1965).
10. Piyasena, R.; Loo, Yew-Chaye and Fragomeni, S. "Factors influencing spacing and width of cracks in reinforced concrete; New prediction formulae," *Advances in Structural Engineering*, **7**(1), pp. 49-60 (2004).
11. Smith, S.T. and Teng, J.G. "FRP-strengthened RC beams. I: Review of debonding strength models," *Engineering Structures*, **24**, pp. 385-395 (2002).
12. Wang, C.Y. and Ling, F.S. "Prediction model for the debonding failure of cracked RC beams with externally bonded FRP sheets", *Proceedings of the Second International Conference of Composites in Infrastructure (ICCI 98)*, Tucson, Arizona, USA, pp. 548-562 (1998).
13. Oh, H.S. and Sim, J. "Interface debonding failure in beams strengthened with externally bonded GFRP", *Composite Interfaces*, **11**(1), pp. 25-42 (2004).
14. Yao, J.; Teng, J.G. and Chen, J.F. "Experimental study on FRP- to-concrete bonded joints", *Composites: Part B*, **36**, pp. 99-113 (2005).
15. Yuan, H.; Teng, J.G.; Seracino, R.; Wu, Z S. and Yao, J. "Full range behavior of FRP-to-concrete bonded joints", *Eng. Struct.*, **26**(5), pp. 553-564 (2004).
16. Arya, C. and Farmer, N. "Design guidelines for flexural strengthening of concrete plastics for reinforced concrete structures", UK (2001).
17. Shehata IAEM. "Strengthening of RC beams in flexure and shear using CFRP laminate", FRPRCS-5, Fiber Reinforced Plastics for Reinforced Concrete Structures, UK (2001).

